

円柱面状熱源応力よりくへ周地盤応力の一計算

名城大学理工学部、土木工学科教室、正会員、柴田道生

(1) まえがき

温度は、分子的活動の程度を示す指標であり高速の分子が移動して、低速の分子と衝突することによって生ずるものと考へられてゐる。

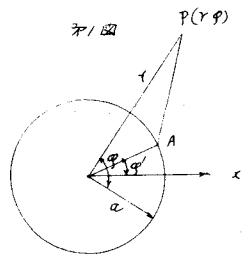
くへ地盤に貫入する場合、くへは振動し、くへ周面地盤は弾性、圧縮され、圧縮波と生ずる。この圧縮波は、土粒子を側方に移動、衝突せしめることで、この圧縮波の速度は、地盤のN値に關係するところが知られてゐる。即ち、振動による圧縮波の速度は、貫入地盤ほど大きくなる。地盤ほど小であることは、熱伝導によつて、常に充填された原子は、ゆるく充填された材料よりも、若しく其の振動を伝達する。熱の発生伝導機構と全く同一である。

そこで、くへの貫入による地盤の圧縮伝達機構と、熱の伝達機構と同一であると考へて、くへの貫入による地盤中に生ずる応力を求めてみた。

(2) 地盤中に生ずる応力算定の理論式

因に於いて、くへ半径aの周面上に、一様に強さQの線状応力が発生したとして、くへ軸上りtの距離に生じる応力 σ_r は、円柱面状熱源の式によつて

$$\begin{aligned}\sigma_r &= \frac{\sigma a}{4\pi kt} \int_0^{2\pi} e^{-\frac{r^2+a^2-2ar\cos(\varphi-\varphi')}{4\pi k}} d\varphi' \\ &= \frac{\sigma a}{4\pi kt} e^{-\frac{r^2+a^2}{4\pi k}} \int_0^{2\pi} e^{\frac{-ar}{2\pi k} \cos(\varphi-\varphi')} d\varphi'\end{aligned}$$



表示され、之を Bessel 関数 (第一種変形) で表わすと

$$\sigma_r = \frac{Q}{4\pi kt} e^{-\frac{r^2+a^2}{4\pi k}} I_0\left(\frac{ar}{2\pi k}\right) \quad \dots \dots \dots (1)$$

但し $Q = 2\pi a \sigma_0$

$$t : \text{時間} \quad t = \frac{r-a}{V_s} \quad \dots \dots \dots (2)$$

$$k : \text{応力伝播拡散率} \quad k = \frac{V_s E}{w} \quad \text{cm}^2/\text{sec}$$

E: 上の弹性係数
w: 横方向地盤深さ cm

茲で、 V_s : 応力波(S波)の伝播速度 cm/sec

N : 地盤のN値

w : 横方向地盤深さ cm

又、応力波(S波)の伝播速度 $V_s = 52\sqrt{N}$ cm/sec 又は $V_s = \sqrt{N \times 10^3}$ cm/sec で表される。

(3) くへの打撃貫入による地盤中に発生する応力の実測値

深さ 1.5" 幅 1.5" 長さ 30" の実験砂槽に直徑 15 cm、長さ 1 m の模型木杭を重錘 20 kg で打撃し、地盤中に土圧計を埋設し、模型木杭には、抵抗線歪計を貼付して杭各点の打撃応力を計測した。

第2図は、土圧計の埋設位置を示してある。

くへの打撃貫入は、重さ 20 kg の重錘を用い、打撃エネルギーを 10.48 m, 8.97 m, 6.49 m, 4.97 m の 4 段階とした。

くへの貫入により、地表面より 20 cm, 50 cm の位置における打撃エネルギーの伝達応力を、くへに貼付した抵抗線土圧計の讀数より次の値を得た。

(表)

打撃エネルギー	伝達応力 σ_t / kg/cm^2	
	深さ 20 cm	深さ 50 cm
10.48 m	2.5	0.9
8.97 m	2.2	0.8
6.49 m	1.8	0.6
4.97 m	1.0	0.5

第3図及第4図は、深さ 20 cm 及び 50 cm の位置における地盤応力とくへ軸よりの距離に従って計測した地盤応力値である。之と実測値とて不ぞ。

(4) 地盤応力の計算値

実験砂槽の砂土の N 値を、標準貫入試験値より

$$\text{それで } N = 2 \quad \text{従つて } V_s = 5000 \text{ cm/sec.}$$

$$W = 1.5 \text{ kg/cm}^3 \quad E = 30 \text{ kg/cm}^2 \quad k = 16 \times 10^6 \text{ cm}^2/\text{sec.}$$

$$t = \frac{\tau - \sigma}{V_s} \quad \sigma = 2.5 \text{ cm} \quad r : \text{くへ軸よりの距離}$$

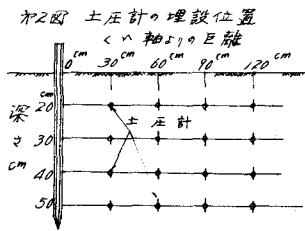
$$r : 30 \text{ cm}, 60 \text{ cm}, 90 \text{ cm}, 120 \text{ cm}, \sigma \text{ の値は}$$

表の数値を採用して、円周方向 1 cm 当りの線状応力と考へ σ_t / kg/cm にて (1) 式に代入して σ_t の値を求める。

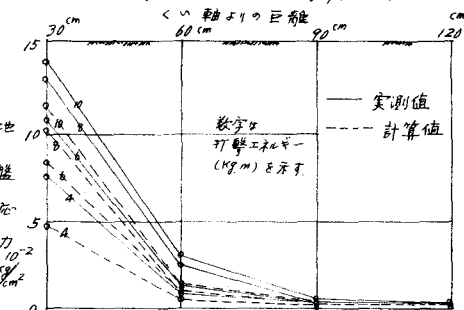
其の結果を第3図及び第4図の計算値にて表はすと、実測値に近似して同一軸向を示している。

(5) くへ周地盤の破壊領域 R

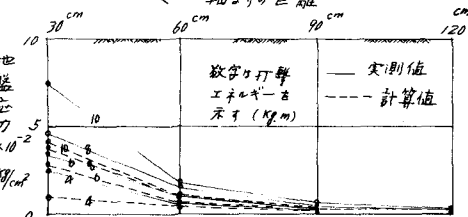
くへの打撃貫入によって、くへ周地盤は破壊圧密られ、其の範囲 R は破壊領域と呼ぶが、表に示すように、同一打撃エネルギーにおいても、深さを増すに従つて、くへ軸力は減少する。この軸力は、打撃エネルギーによつて変化する。この軸力をくへ周囲の線状応力と考へると、(1) 式によつて σ_t は深さによつて及打撃エネルギーによつて相違する。(2) 式によつて、たゞ着しく大と考へば、たゞ着しく大きくなつ。 (1) 式によつてたゞ着しく大きくなつと σ_t は非常に少くなり、極限では零となる。即ち、破壊領域 R が現出される。又、深さを増すに従つて、伝達応力、換算されば線状応力が小となり (1) 式の σ_t の値が小さくなり、 σ_t は減少し、破壊領域 R を従つて縮小されるであろう。併しに、くへの長さが無限に長い極限状態を考へれば、地盤を均一基盤と仮定すると、くへ先端軸力は零に等しく、 σ_t は零に等しいであろうと考へられ、従つて破壊領域 R の断面は次圖に示す形態となることと推定される。



第3図 土圧計の埋設位置



くへ軸よりの距離



くへ軸よりの距離

第5図 破壊領域の断面

